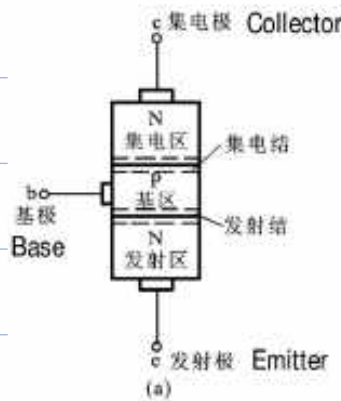


§5 双极结型三极管及其放大电路

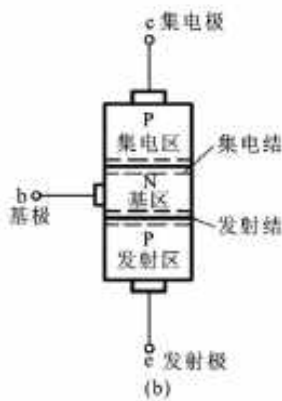
1 双极结型三极管的结构及工作原理

Bipolar Junction Transistor

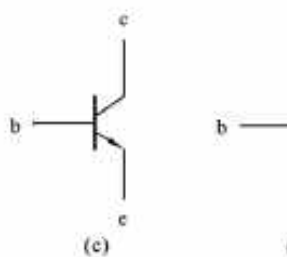
BJT



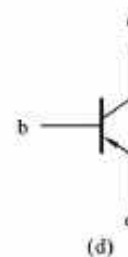
NPN型管结构示意图



PNP型管结构示意图



NPN型管
电路符号



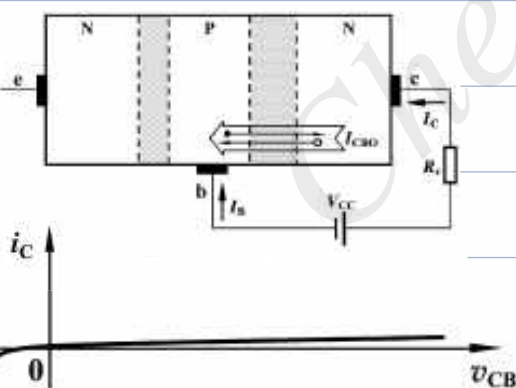
PNP型管
电路符号

箭头方向：
发射结方向 P→N

结构特点

- ① 发射区的掺杂浓度最高
- ② 集电区掺杂浓度最低，且面积大
- ③ 基区很薄，一般在几微米至几十个微米，且掺杂浓度低于发射区

工作原理

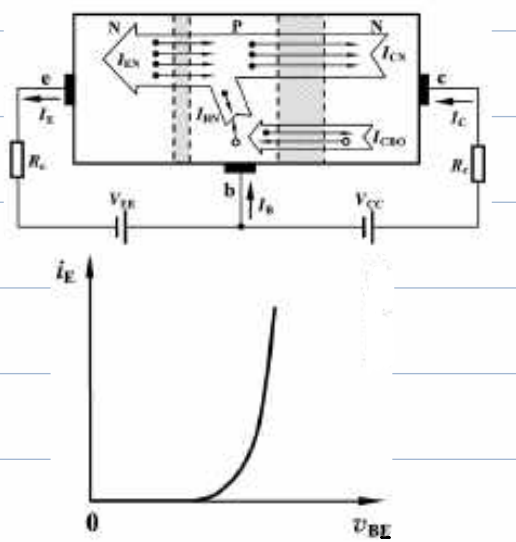


V_{CC} 使集电结反向偏置

促进少子漂移（少子由本征激发产生）

少子形成漂移电流 I_{CBO}

I_{CBO} 集电结反向饱和电流



V_{EE} 使发射结正向偏置

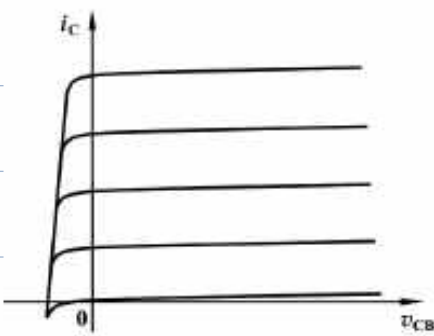
促进多子扩散，产生发射结电流 I_{EN}

（多子是掺杂引起的，不受温度影响）

基区复合电流 I_{BN}

$$I_E = I_{EN} \quad I_B = I_{BN} \quad I_C = I_{CN} + I_{CBO}$$

$$I_E = I_{ES} (e^{\frac{V_{BE}}{V_T}} - 1)$$



发射极电流 I_E 可以控制集电极电流 I_c
控制关系：

$$V_{BE} \rightarrow i_E \rightarrow i_c$$

电流放大系数

$$\alpha = \frac{\text{传输到集电极的电流}}{\text{发射极注入电流}} = \frac{I_{CN}}{I_E} \approx \frac{I_c}{I_E} \quad I_c = \alpha I_E$$

$$\beta = \frac{I_c}{I_B} = \frac{I_c}{I_E - I_c} = \frac{\alpha}{1 - \alpha}$$

反映载流子在基区的复合比例， α/β 越大，复合比例越低。

BJT 控制关系 \Rightarrow 电流控制器件

$$I_c = \alpha I_E \quad I_c = \beta I_B \quad I_E = (1 + \beta) I_B$$

工作条件：发射结正偏，集电结反偏

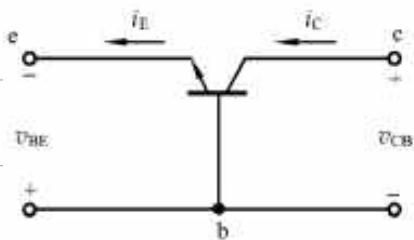
输入：发射极电流 I_E / 基极电流 I_B

输出：集电极电流 I_c

组态：共基极、共射极、共集电极

2 BJT 的特性曲线

(1) 共基极

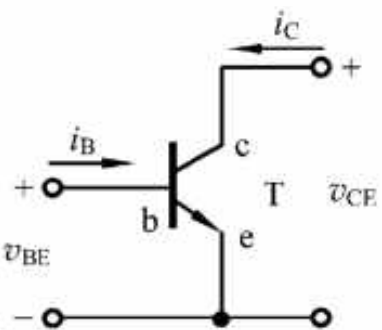


输入特性 $i_E = f(V_{BE}) \Big|_{V_{CB} = \text{const}}$

基本关系 $i_E = I_{ES} (e^{\frac{V_{BE}}{V_t}} - 1)$

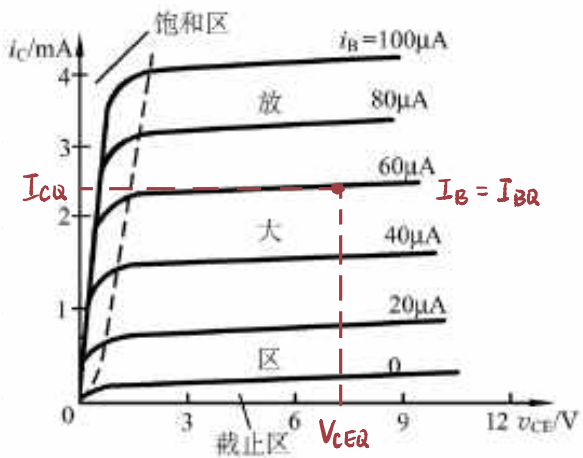
输出特性 $i_c = f(V_{CB}) \Big|_{V_{BE} = \text{const}}$

(2) 共发射极



输入特性 $i_B = f(V_{BE}) \mid V_{CE} = \text{const}$

输出特性 $i_C = f(V_{CE}) \mid V_{BE} = \text{const}$



截止区 $i_C = 0$

饱和区 i_C 随 V_{CE} 增大迅速上升, 通常 $V_{CE} < 0.7V$ (硅)

无法区分不同 i_B 产生的影响

发射结正偏, 集电结正偏或反偏电压很小

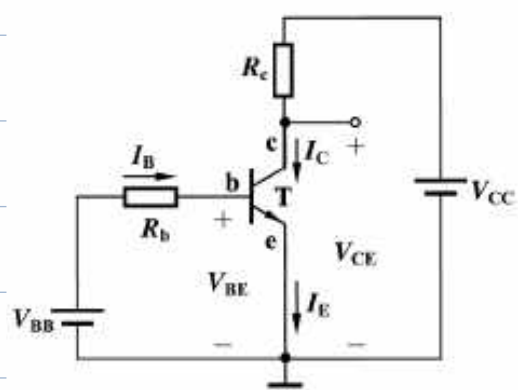
放大区 $i_C = \beta i_B$ i_C 与 V_{CE} 无关 (理想)

发射结正偏, 集电结反偏

静态工作点 Q 点: I_{BQ} , I_{CQ} , V_{CEQ}

3 BJT 的静态偏置和放大电路构成

BJT 的偏置满足: 发射结有合适正偏, 集电结有合适反偏



V_{BB} 提供正向偏置

选择合适的 R_b , R_C , 使 $V_C > V_B$, 集电结反偏

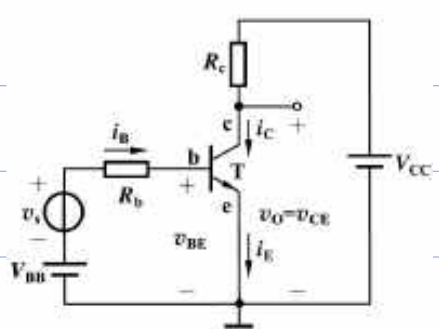
求静态工作点.

$$\text{输入回路 } I_{BQ} = \frac{V_{BB} - V_{BEQ}}{R_b}$$

$$\text{BJT 电流关系 } I_{CQ} = \beta I_{BQ}$$

$$\text{输出回路 } V_{CEQ} = V_{CC} - I_{CQ} R_C$$

其中, 一般硅管 $V_{BEQ} = 0.7V$, 锗管 $V_{BEQ} = 0.2V$



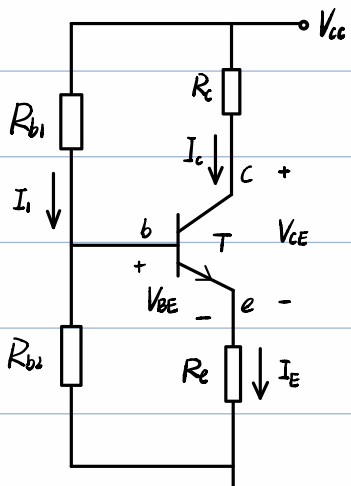
$$\text{输入信号后 } V_{BE} = V_{BB} + V_s - i_b R_b$$

$$i_B = I_{BO} + i_b$$

$$i_c = \beta i_b$$

$$V_o = V_{CE} = V_{CC} - i_c R_b$$

EXP 基极分压射极偏置电路



当满足 $I_1 \gg I_B$ 时

$$V_{BQ} = \frac{R_{b2}}{R_{b1} + R_{b2}} V_{CC}$$

$$I_{CQ} \approx I_{EQ} = \frac{V_{BQ} - V_{BEQ}}{R_e}$$

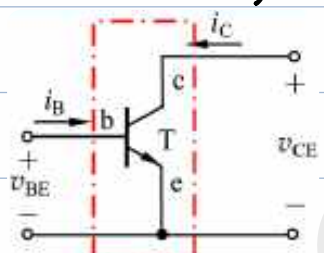
$$V_{CQE} = V_{CC} - I_c R_c - I_E R_e \approx V_{CC} - I_{CQ} (R_c + R_e)$$

$$I_{BQ} = \frac{I_{CQ}}{\beta}$$

检验是否满足 $I_1 \gg I_B$

④ BJT 放大电路的小信号模型分析法

(一) H参数及小信号模型



$$\text{输入特性 } i_B = f(v_{BE}) \mid V_{CE} = \text{const}$$

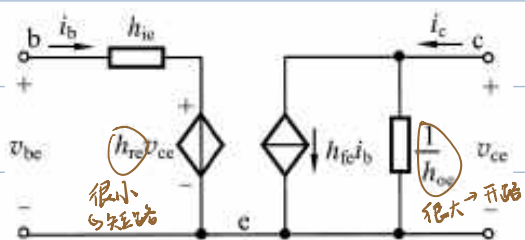
$$\text{输出特性 } i_c = f(v_{CE}) \mid V_{BE} = \text{const}$$

$$V_{BE} = f_1(i_B, V_{CE}) \quad i_c = f_2(i_B, V_{CE})$$

$$dV_{BE} = \frac{\partial V_{BE}}{\partial i_B} di_B + \frac{\partial V_{BE}}{\partial V_{CE}} dV_{CE}$$

$$di_c = \frac{\partial i_c}{\partial i_B} di_B + \frac{\partial i_c}{\partial V_{CE}} dV_{CE}$$

$$v_{be} = h_{ie} i_B + h_{re} v_{ce} \quad i_c = h_{fe} i_B + h_{oe} v_{ce}$$



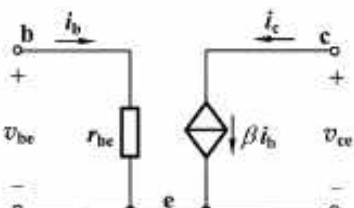
$$h_{ie} = \frac{\partial V_{BE}}{\partial i_B} = r_{be}$$

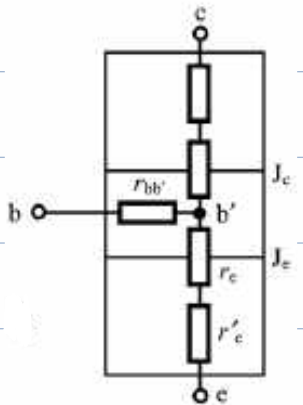
$$h_{re} = \frac{\partial V_{BE}}{\partial V_{CE}} = 10^{-3} \sim 10^{-4}$$

$$h_{fe} = \frac{\partial i_c}{\partial i_B} = \beta$$

$$h_{oe} = \frac{\partial i_c}{\partial V_{CE}} = \frac{1}{r_{ce}}$$

简化





$$r_{be} = \frac{v_{be}}{i_b} = \frac{i_b r_w + i_e (r_e + r'_e)}{i_b} = \frac{i_b r_{bb'} + (1+\beta) i_b (r_e + r'_e)}{i_b}$$

$$= r_{bb'} + (1+\beta)(r_e + r'_e) \approx r_{bb'} + (1+\beta)r_e$$

$$\text{常温下发射极电阻 } r_e = \frac{kT(1\text{mV})}{I_{EQ}(\text{mA})} = \frac{26\text{mV}}{I_{EQ}(\text{mA})} \approx \frac{26\text{mV}}{I_{CA}(\text{mA})}$$

低频小功率管 $r_{bb'} \approx 200\Omega$

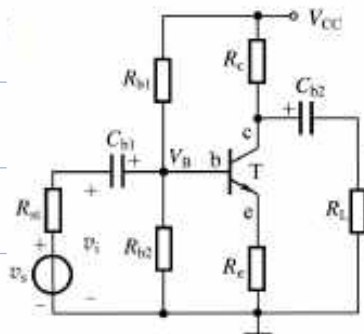
$$r_{be} \approx 200\Omega + (1+\beta) \frac{26\text{mV}}{I_{CA}(\text{mA})} \quad r_{ce} = \frac{V_A}{I_{CA}}$$

注意

- ① BJT必须工作在放大区，并且是小信号情况，模型才是可用的。
- ② 只用于交流信号或变化量的分析，不能用来分析静态工作点。
- ③ r_{be} 和 r_{ce} 与静态工作点的位置有关， r_{be} 更敏感。
- ④ 复接电源 βi_b 的电流方向与控制电流 i_b 方向关联。

(二) 用小信号模型分析放大电路

EXP 已知 $V_{CC} = 16\text{V}$, $R_{b1} = 56\text{k}\Omega$, $R_{b2} = 20\text{k}\Omega$, $R_c = 3.3\text{k}\Omega$,



$$R_L = 6.2\text{k}\Omega, R_{s1} = 500\Omega,$$

BJT的 $\beta = 80$, $r_{ce} = 100\text{k}\Omega$, $V_{BEQ} = 0.7\text{V}$,

$$\text{求 } A_V, R_i, A_{VS} = \frac{V_o}{V_s}, R_o.$$

(1) 静态。设 $I_{BQ} \ll I_i$

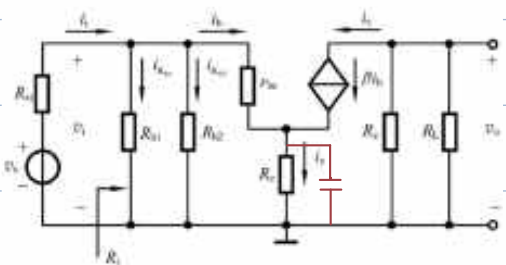
$$V_{BQ} = -\frac{R_{b2}}{R_{b1} + R_{b2}} V_{CC}$$

$$I_{CA} \approx I_{EQ} = \frac{V_{EQ}}{R_e} = \frac{V_{BQ} - V_{BEQ}}{R_e}$$

$$V_{CEQ} = V_{CC} - I_c R_c - I_e R_e \approx V_{CC} - I_c (R_c + R_e)$$

$$I_{BQ} = \frac{I_{CA}}{\beta} \quad \text{求出 } I_{EQ} \approx 1.76\text{mA}$$

(2) 动态



$$H\text{参数 } r_{be} = 200\Omega + (1+\beta) \frac{26\text{mV}}{I_{EQ}(\text{mA})} \approx 1.4\text{k}\Omega$$

$$V_o = -i_c (R_c \parallel R_L) = -\beta i_b (R_c \parallel R_L)$$

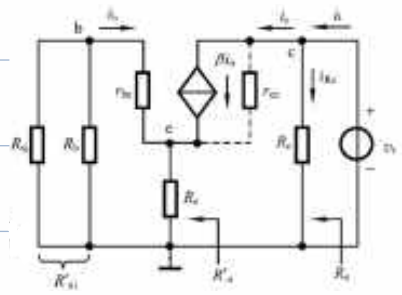
$$V_i = i_b r_{be} + i_e R_e = i_b r_{be} + (1+\beta) i_b R_e$$

$$A_V = \frac{V_o}{V_i} = -\frac{\beta (R_c \parallel R_L)}{r_{be} + (1+\beta) R_e} \approx -1.05$$

$$i_i = i_b + i_{Rb} = \frac{V_i}{r_{be} + (1+\beta) R_e} + \frac{V_i}{R_{b1}} + \frac{V_i}{R_{b2}}$$

$$R_i = \frac{V_i}{I_i} = \frac{1}{r_{be} + (1+\beta)R_e} = R_{b1} \parallel R_{b2} \parallel [r_{be} + (1+\beta)R_e] \approx 13.52 \text{ k}\Omega$$

$$A_{Vs} = \frac{V_o}{V_s} = \frac{V_o}{V_i} \cdot \frac{V_i}{V_s} = A_v \cdot \frac{R_i}{R_{si} + R_i} \approx -1.01$$



基极回路 KVL: $i_b (r_{be} + R_{si}') + (i_b + i_c) R_e = 0$

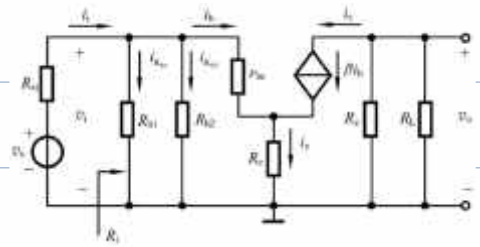
$$\text{其中 } R_{si}' = R_{si} \parallel R_b \quad R_b = R_{b1} \parallel R_{b2}$$

集电极回路 KVL: $V_t - (i_c - \beta i_b) r_{ce} - (i_b + i_c) R_e = 0$

$$R_o' = \frac{V_t}{i_c} \quad R_o = R_o' \parallel R_c$$

5 BJT 的三种基本放大电路和复合管

(1) 共射极



$$\text{输入回路 } V_i = i_b r_{be} + (1+\beta) i_b R_e$$

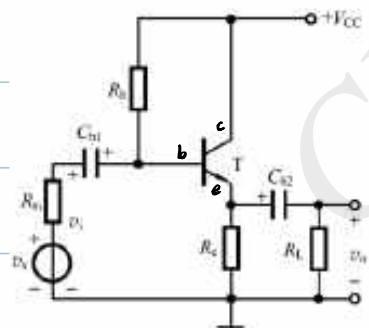
$$\text{输出回路 } V_o = -\beta i_b (R_c \parallel R_L)$$

$$A_v = \frac{V_o}{V_i} = -\frac{\beta (R_c \parallel R_L)}{r_{be} + (1+\beta) R_e}$$

$$\text{输入电阻 } R_i = R_{b1} \parallel R_{b2} \parallel [r_{be} + (1+\beta) R_e]$$

$$\text{输出电阻 } R_o = R_o' \parallel R_c \approx R_c$$

(2) 共集电极



(1) 静态分析

$$\text{输入回路 } V_{cc} - V_{BEQ} - I_{BQ} R_b - (1+\beta) I_{BQ} R_e = 0$$

$$\Rightarrow I_{BQ} = \frac{V_{cc} - V_{BEQ}}{R_b + (1+\beta) R_e}$$

$$I_{CQ} = \beta I_{BQ} \approx I_{EQ}$$

$$\text{输出回路 } V_{CEQ} = V_{cc} - I_{EQ} R_e$$

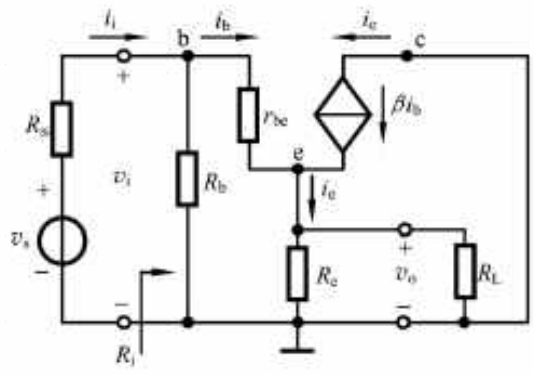
(2) 动态分析

$$r_{be} = 200 \Omega + (1+\beta) \frac{26 \text{ mV}}{I_{CQ} (\text{mA})}$$

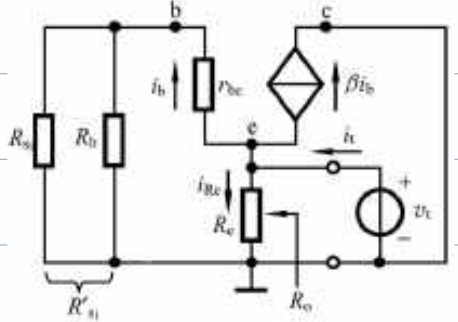
$$V_i = i_b r_{be} + (1+\beta) i_b (R_e \parallel R_b)$$

$$V_o = (1+\beta) i_b (R_e \parallel R_L)$$

$$A_v = \frac{(1+\beta) (R_e \parallel R_L)}{r_{be} + (1+\beta) (R_e \parallel R_L)}$$



若 $(1+\beta)(R_e \parallel R_L) \gg r_{be}$, $A_v \approx 1$, $V_o \approx V_i$ 电压跟随器 / 射极跟随器



$$i_i = \frac{v_i}{R_b} + i_b = \frac{v_i}{R_b} + \frac{v_t}{r_{be} + (1+\beta)(R_e // R_L)}$$

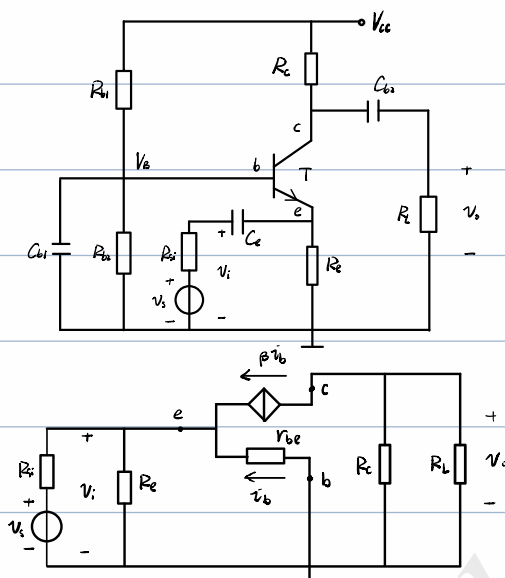
$$R_i = \frac{v_i}{i_i} = \frac{1}{\frac{1}{R_b} + \frac{1}{r_{be} + (1+\beta)(R_e // R_L)}} = R_b // [r_{be} + (1+\beta)(R_e // R_L)]$$

$$i_t = i_b + \beta i_b + i_{Re} = \frac{(1+\beta)v_t}{R_s + r_{be}} + \frac{v_t}{R_e}$$

$$R_o = \frac{v_t}{i_t} = R_e // \left(\frac{R_s + r_{be}}{1+\beta} \right)$$

- 特点**
- ① 电压增益小于1但接近1， v_o 与 v_i 同相
 - ② 输入电阻大，对电压信号源衰减小
 - ③ 输出电阻小，带电压负载能力强

(3) 共基极



$$V_o = -i_c (R_c // R_L) = -\beta i_b (R_c // R_L)$$

$$V_i = -i_b R_{be}$$

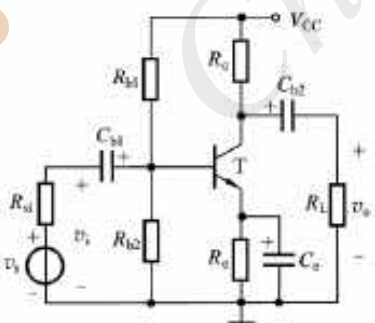
$$A_v = \frac{V_o}{V_i} = \frac{\beta (R_c // R_L)}{R_{be}}$$

$$i_i = \frac{V_i}{R_{be}} - (1+\beta) i_b = \frac{V_i}{R_{be}} + \frac{(1+\beta)V_i}{R_{be}}$$

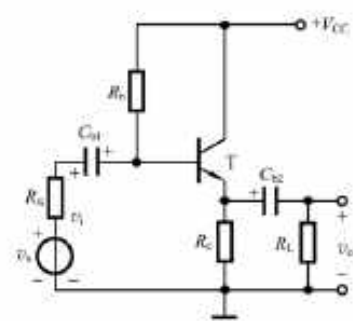
$$R_i = \frac{V_i}{i_i} = R_{be} // \left(\frac{R_{be}}{1+\beta} \right)$$

$$R_o = R_c$$

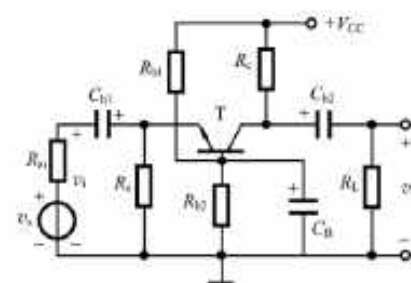
总结



共射极电路



共集电极电路



共基极电路

电压增益: $\frac{\beta \cdot (R_c // R_L)}{R_{be}}$

$$\frac{(1+\beta) \cdot (R_c // R_L)}{r_{be} + (1+\beta)(R_c // R_L)} \approx 1$$

$$\frac{\beta \cdot (R_c // R_L)}{r_{be}}$$

输入电阻: $R_b // r_{be}$

$$R_b // [r_{be} + (1+\beta)(R_c // R_L)] \text{ max}$$

$$R_e // \frac{r_{be}}{1+\beta} \text{ min}$$

输出电阻: R_c

$$R_c // \frac{(R_s // R_b) + r_{be}}{1+\beta} \text{ min}$$

$$R_c$$

相位关系: 反相

同相

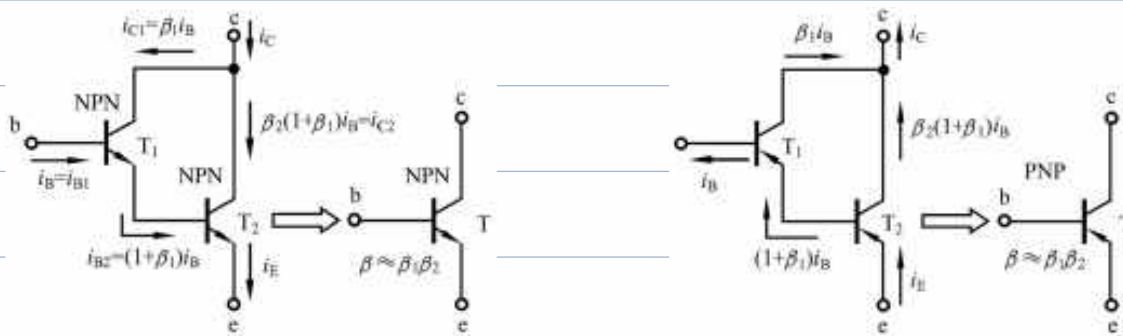
同相

用途: 多级放大电路的中间级 输入级、中间级、输出级 高频或宽频带电路

复合管

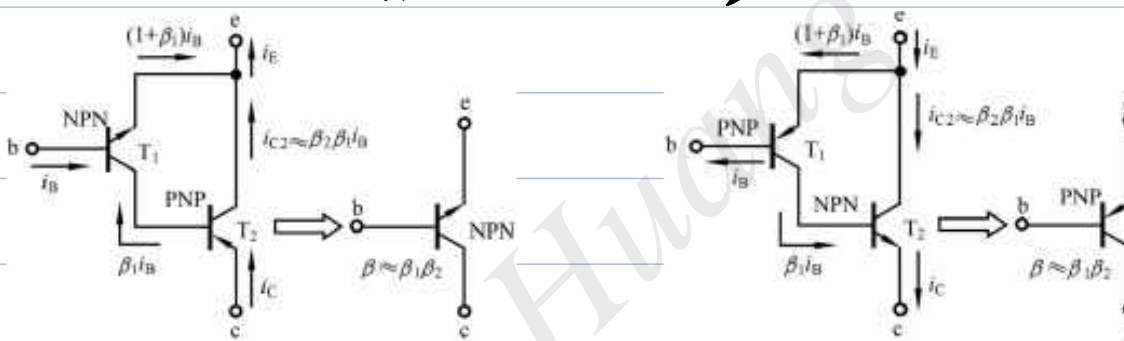
基本原则：BJT 各电极电流方向不能冲突

同类型：T₁发射极 → T₂基极



$$\text{等效基极-发射极电阻 } r_{be} = r_{be1} + (1 + \beta_1) r_{be2}$$

不同类型：T₁集电极 → T₂基极

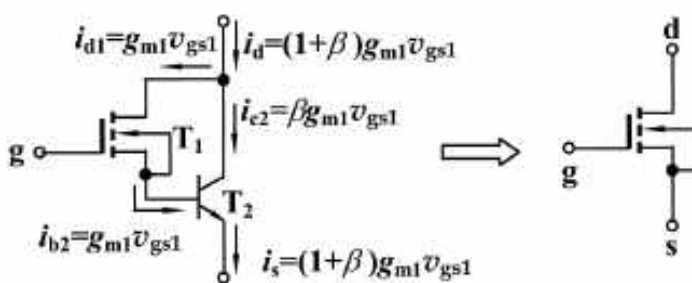


$$\text{等效基极-发射极电阻 } r_{be} \approx r_{be1}$$

复合管优点：①用简单的方法得到高 β 值三极管

②分析电路时，可以简单地把它当作一个三极管

BiMOS 复合管



$$\beta_m = (1 + \beta) g_m$$

6

MOSFET 和 BJT 比较及其基本放大电路共性归类

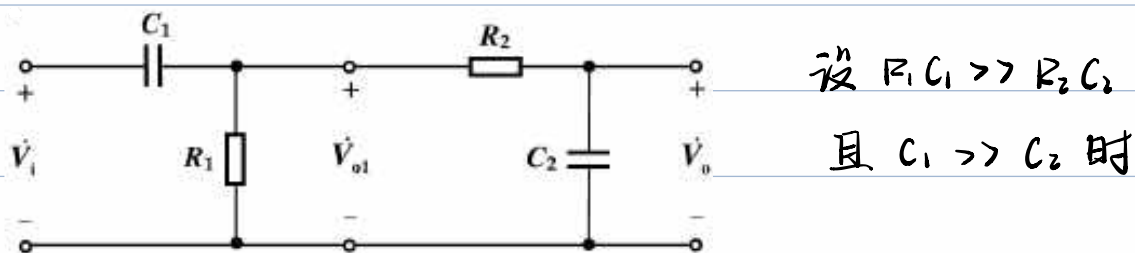
	增强型 NMOS 管	NPN 型 BJT
电路符号		
工作在放大区的两个条件	(1) 生成沟道 $v_{GS} \geq V_{TN}$ ($=0.3 \sim 0.5V$, 现代工艺可达到的数值) (2) 沟道出现预夹断 $v_{DS} \geq v_{GS} - V_{TN}$	(1) 发射结正偏 $v_{BE} \geq V_{th}$ ($\approx 0.5V$) (2) 集电结反偏 或放宽为 $v_{BC} < 0.4V$ 且 $v_{CE} \geq 0.3V$
放大区的电流-电压关系	$i_D = \frac{\mu_n C_{ox}}{2} \cdot \frac{W}{L} (v_{GS} - V_{TN})^2 (1 + \lambda v_{DS})$ $= K_n (v_{GS} - V_{TN})^2 (1 + \lambda v_{DS})$ $i_S = 0$	$i_E \approx I_{EQ} e^{v_{BE}/V_T}$ $i_C = \alpha i_E$ $i_B = i_C / \beta$
简化的低频小信号模型 (共源、共射)		
互导(或跨导) g_m	$g_m = 2K_n (V_{GSQ} - V_{TN}) = 2\sqrt{K_n I_{DQ}}$	$g_m = \beta / r_{be} \approx I_{EQ} / V_T$
共源、共射连接时三极管的输入电阻	$r_{in} = \infty$	$r_{in} = r_{be} + (1 + \beta) \frac{26mV}{I_{EQ} mA} \approx \frac{\beta}{g_m}$
三极管的输出电阻	$r_{out} = [\lambda K_n (v_{GS} - V_{TN})]^2 = \frac{1}{\mu_n I_{DQ}} = \frac{V_A}{I_{DQ}}$	通常 $r_{out} \approx \frac{V_A}{I_{CQ}}$

	反相电压放大器	电压跟随器	电流跟随器
通用组态电路示意图			
组态命名依据的主要特征	不仅有 v_o 与 v_i 反相, 而且一般有 $ A_v \gg 1$	$v_o \approx v_i$, $A_v \approx 1$, 即 v_o 与 v_i 大小接近相等, 相位相同	$i_o \approx i_i$ 对于 BJT 有 $i_c \approx i_i$ 对于 FET 有 $i_d \approx i_i$
电路名称	共源极电路 共射极电路	共漏电极电路 共集极电路	共栅极电路 共基极电路
用途	电压增益高, 输入电阻和输入电容均较大, 适用于多级放大电路的中间级	输入电阻高、输出电阻低, 可作阻抗变换, 用于输入级、输出级或缓冲级	输入电阻小, 输入电容小, 适用于高频、宽带电路

§6 放大电路的频率响应

1 单时间常数RC电路的频率响应

1个电阻 + 1个电容



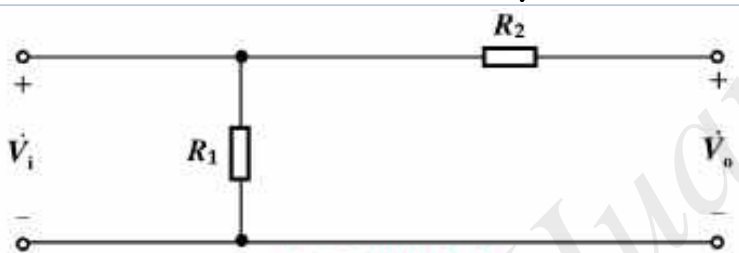
设 $R_1 C_1 \gg R_2 C_2$.

且 $C_1 \gg C_2$ 时

(1) 中频响应 $\frac{1}{R_1 C_1} \ll \omega \ll \frac{1}{R_2 C_2}$

$\frac{1}{\omega C_1} \ll R_1$ C_1 可看作短路

$\frac{1}{\omega C_2} \gg R_2$ C_2 可看作开路

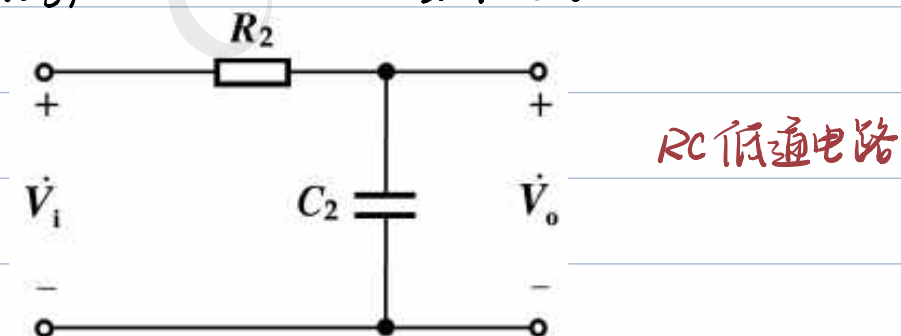


传递函数(电压增益) $A_{VM} = \frac{\dot{V}_o}{\dot{V}_i} = 1$

$$|A_{VM}| = 1 \quad \varphi_m = \varphi_o - \varphi_i = 0$$

(2) 高频响应 ω 接近或大于等于 $\frac{1}{R_2 C_2}$

$\frac{1}{\omega C_1} \ll R_1$ C_1 看作短路



$$A_{VM} = \frac{\dot{V}_o}{\dot{V}_i} = \frac{\frac{1}{j\omega C_2}}{R_2 + \frac{1}{j\omega C_2}} = \frac{1}{1 + j\omega R_2 C_2}$$

令 $f_H = \frac{1}{2\pi R_2 C_2}$ 称为上限截止频率. $\omega = 2\pi f$

$$A_{VM} = \frac{1}{1 + j(\frac{f}{f_H})^2}$$

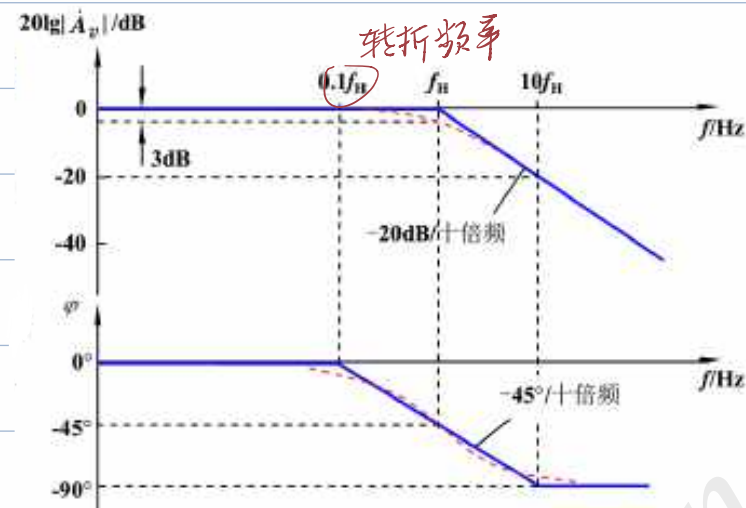
电压增益的幅值 $|A_{VM}| = \sqrt{1 + (\frac{f}{f_H})^2}$ 幅频响应

电压增益的相角 $\varphi_H = \varphi_o - \varphi_i = \arctan(\frac{f}{f_H})$ 相频响应

$$\text{幅频响应 } |\dot{A}_{vH}| = \sqrt{1 + \left(\frac{f}{f_H}\right)^2}$$

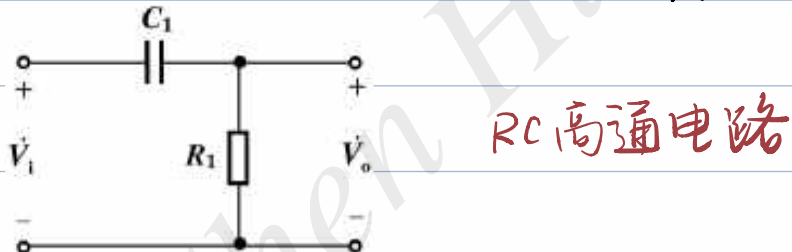
当 $f \ll f_H$ 时, $|\dot{A}_{vH}| \approx 1$, $20 \lg |\dot{A}_{vH}| = 0$ (dB)
 当 $f \gg f_H$ 时, $|\dot{A}_{vH}| \approx \frac{f_H}{f}$, $20 \lg |\dot{A}_{vH}| \approx 20 \lg f_H - 20 \lg f$ (dB)

波特图:



(3) 低频响应 ω 接近或小于等于 $\frac{1}{R_1 C_1}$

$$\frac{1}{\omega C_2} \gg R_2 \quad C_2 \text{ 看作开路}$$

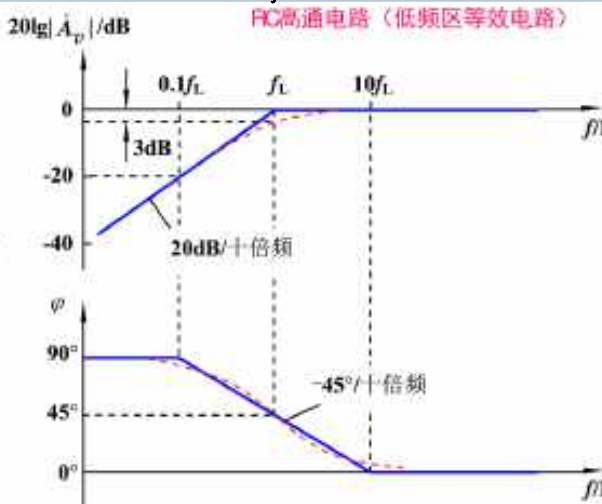


$$\dot{A}_{vL} = \frac{\dot{V}_o}{\dot{V}_i} = \frac{R_1}{R_1 + j\omega C_1} = \frac{1}{1 + j\omega R_1 C_1}$$

令 $f_L = \frac{1}{2\pi R_1 C_1}$ 称为下限截止频率, $\omega = 2\pi f$

$$\dot{A}_{vL} = \frac{1}{1 + j\left(\frac{f}{f_L}\right)}$$

$$|\dot{A}_{vL}| = \sqrt{1 + \left(\frac{f}{f_L}\right)^2} \quad \varphi_L = \varphi_o - \varphi_i = \arctan\left(\frac{jL}{j}\right)$$

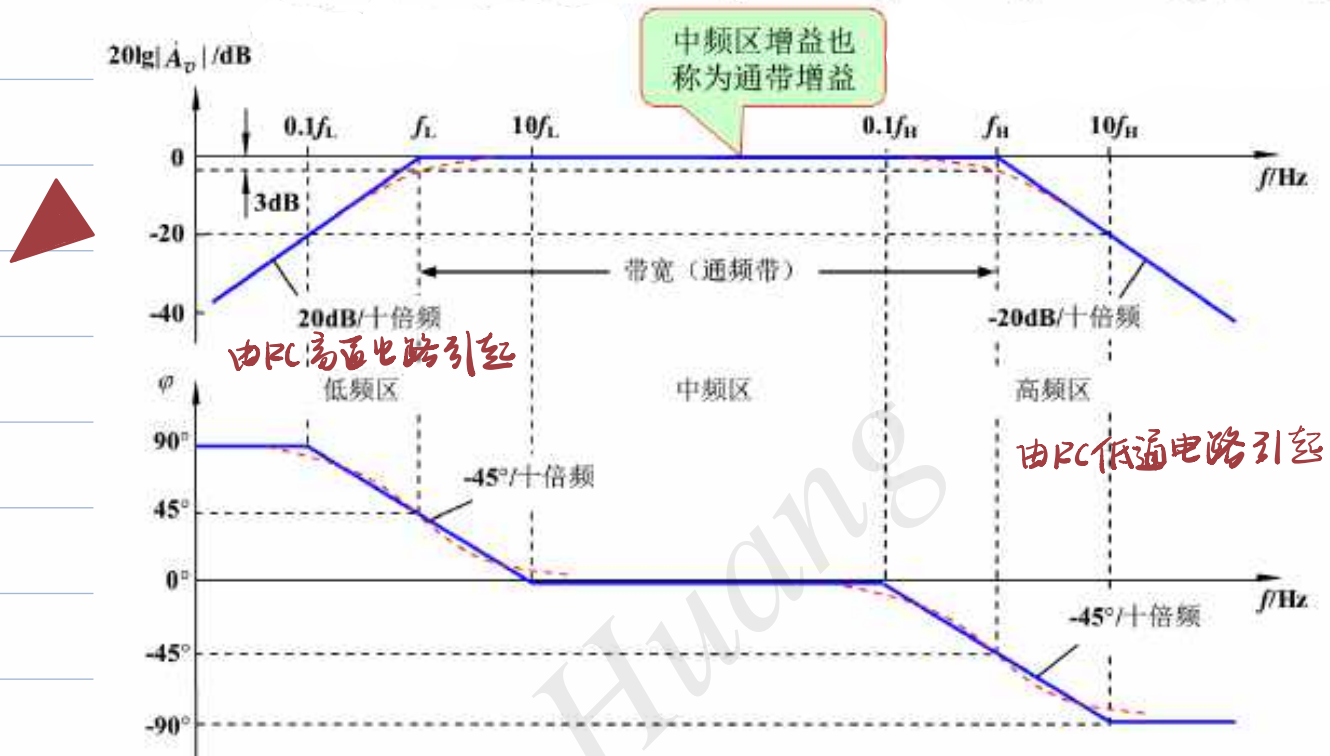


(4) 全频响应

上限频率: f_H

下限频率: f_L

带宽/通频带 $BW = f_H - f_L$ 当 $f_H \gg f_L$ 时, $BW \approx f_H$



结论

① f_H, f_L 取决于时间常数 $\tau = RC$

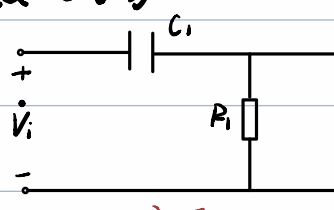
② 当输入信号的频率 $f = f_H$ 或大时, 电路增益比通带增益下降 3dB, 或下降为通带增益的 0.707 倍, 且在通带相移的基础上产生 -45° 或 45° 的相移.

③ 每个转折频率产生的衰减速率是每十倍频衰减 20dB

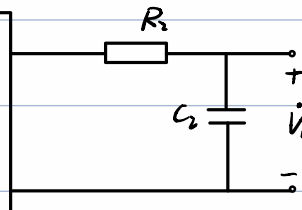
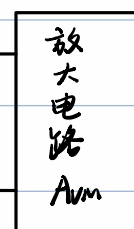
2 放大电路频率响应概述及三极管 高阶 小信号模型

放大电路中存在: PN结电容、耦合电容、旁路电容 ...

等效电路:



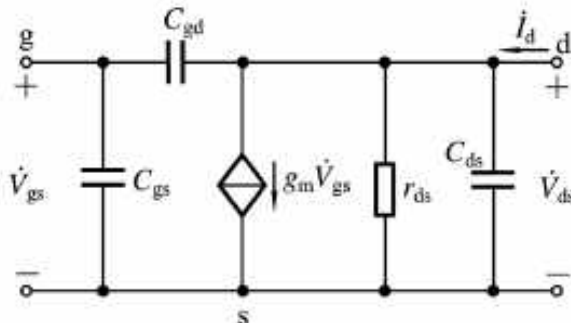
RC 高通



RC 低通

$$R, C_1 \gg R_2, C_2$$

MOSFET 高频小信号模型



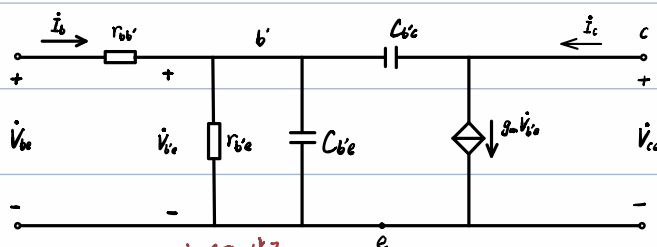
$$C_{gs} \approx 0.1 - 0.5 \text{ pF}$$

$$C_{gd} \approx 0.01 - 0.04 \text{ pF}$$

C_{ds} 更小

$$r_{ds} \approx 10^4 - 10^6 \Omega$$

BJT 高频小信号模型

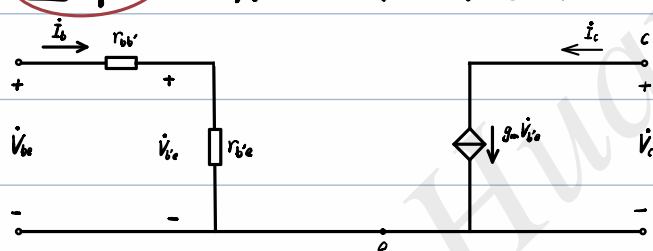


$$r_{bb'} \approx 200 \Omega$$

$$r_{be} = (1 + \beta) \frac{V_T}{I_{EQ}}$$

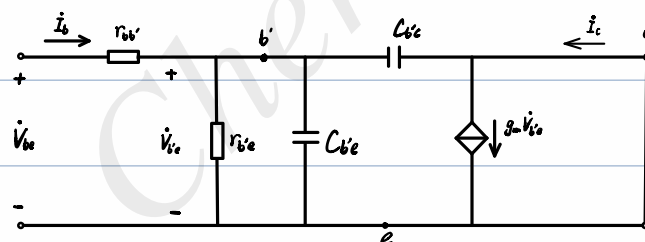
$$C_{be} \text{ 几皮法拉到几百皮法拉}$$

$$C_{bc} \approx 2 - 10 \text{ pF}$$



$$g_m = \frac{\beta}{r_{be}} \approx \frac{I_{EQ}}{V_T} \text{ 与频率无关}$$

β 的频率响应



$$\left\{ \begin{array}{l} \dot{i}_c = g_m \dot{V}_{be} - j\omega C_{bc} \dot{V}_{bc} \\ \dot{i}_b = \frac{\dot{V}_{be}}{r_{be}} + j\omega C_{bc} \dot{V}_{bc} + j\omega C_{ce} \dot{V}_{ce} \end{array} \right.$$

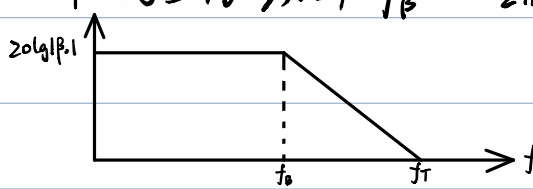
$$\beta = \frac{\dot{i}_c}{\dot{i}_b} = \frac{g_m - j\omega C_{bc}}{\frac{1}{r_{be}} + j\omega (C_{bc} + C_{ce})} \quad \propto \beta_0 = g_m r_{be}$$

当 $g_m \gg \omega C_{bc}$ 时

$$\beta = \frac{\beta_0}{1 + j\omega (C_{be} + C_{bc}) r_{be}}$$

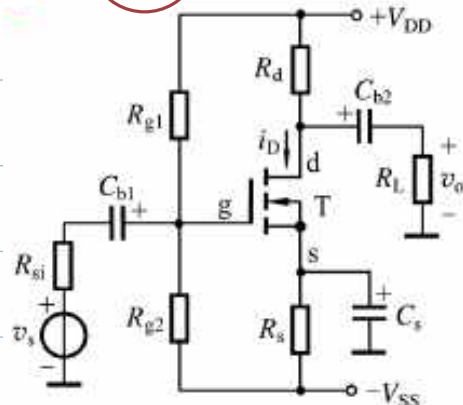
$$|\beta| = \sqrt{1 + (f/f_p)^2}$$

$$\beta \text{ 的上限频率 } f_\beta = \frac{1}{2\pi (C_{be} + C_{bc}) r_{be}} \quad \text{特征频率 } f_T$$



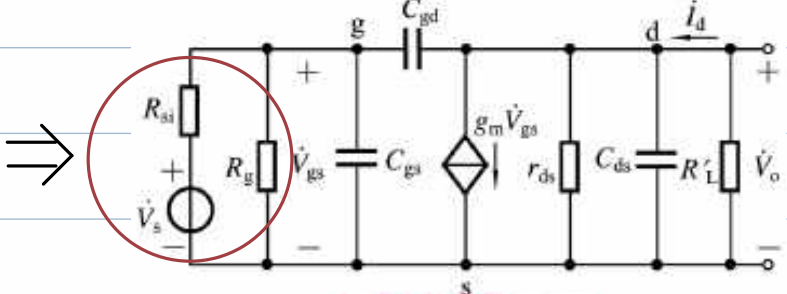
3 三极管放大电路的高频响应和带宽增益积

高频时耦合电容、旁路电容看作短路，直流电压源接地

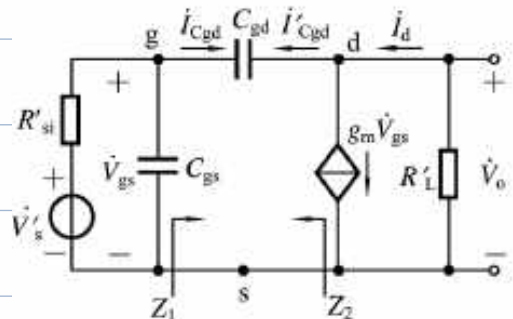


$$R_{\text{g}} = R_{\text{g}1} \parallel R_{\text{g}2}$$

$$R_{\text{i}}' = R_{\text{d}} \parallel R_{\text{L}}$$



$$\text{设 } r_{ds} \gg R_{\text{i}}', \quad V_s' = \frac{R_{\text{s}'}}{R_{\text{s}'} + R_{\text{g}}} V_s \quad R_{\text{s}'} = R_{\text{s}} \parallel R_{\text{g}}$$



$$\text{设 } A_v' = \frac{V_o}{V_{gs}}, \text{ 则 } A_v'$$

$$i_{C_{gd}} = \frac{V_{gs} - V_o}{jwC_{gd}} = (1 - A_v') V_{gs} \cdot jwC_{gd}$$

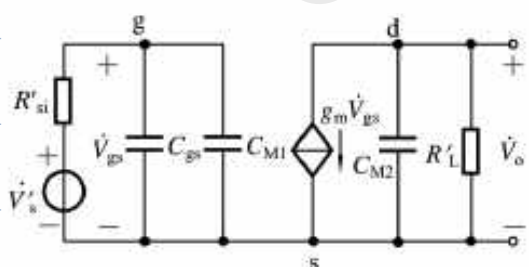
$$\text{阻抗 } Z_1 = \frac{V_{gs}}{i_{C_{gd}}} = (1 - A_v') \cdot jwC_{gd}$$

显然 Z_1 是一个电容的阻抗, $C_{m1} = (1 - A_v') C_{gd}$

同理 Z_2 也是一个电容的阻抗 $C_{m2} = (1 - \frac{1}{A_v'}) C_{gd}$

$$i_{d'} \approx g_m V_{gs}, \text{ 则 } A_v' = \frac{V_o}{V_{gs}} = \frac{-i_d R_{\text{i}}'}{V_{gs}} = -g_m R_{\text{i}}'$$

$$\begin{cases} C_{m1} = C_{gd}(1 + g_m R_{\text{i}}') \\ C_{m2} = C_{gd}(1 + \frac{1}{g_m R_{\text{i}}'}) \end{cases}$$



输入回路 $f \uparrow \Rightarrow |V_{gs}| \downarrow$

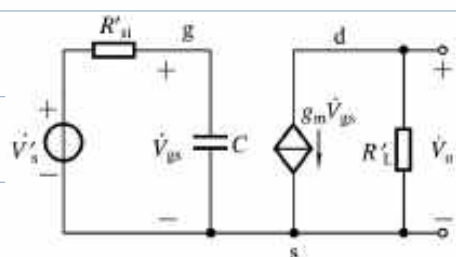
$R_{\text{s}'}(C_{gs} + C_{m1})$ 为低通电路

输出回路 $f \uparrow \Rightarrow |V_o| \downarrow$

$R_{\text{i}}' C_{m2}$ 为低通电路

通常 $g_m R_{\text{i}}' \gg 1$, 则 $C_{m1} = C_{gd}(1 + g_m R_{\text{i}}') \gg C_{gd}$

$$(开路) C_{m2} = C_{gd}(1 + \frac{1}{g_m R_{\text{i}}'}) \approx C_{gd}$$

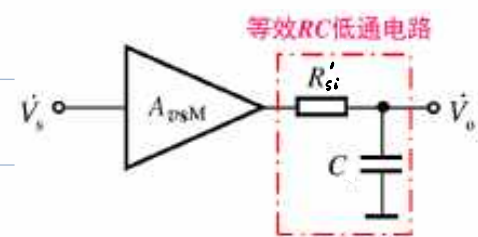


通常有 $V_{gs} = V_s'$

$$A_{vSM} = \frac{V_o}{V_s} = \frac{V_o}{V_{gs}} \cdot \frac{V_{gs}}{V_s} = \frac{V_o}{V_{gs}} \cdot \frac{V_s'}{V_s}$$

$$= -g_m R_{\text{i}}' \cdot \frac{R_{\text{s}'}}{R_{\text{s}'}} = -g_m R_{\text{i}}' \cdot \frac{R_{\text{g}}}{R_{\text{s}'} + R_{\text{g}}}$$

共源极放大电路的等效RC低通电路：



$$A_{vsm} = -g_m R_i' \frac{R_g}{R_{si} + R_g}$$

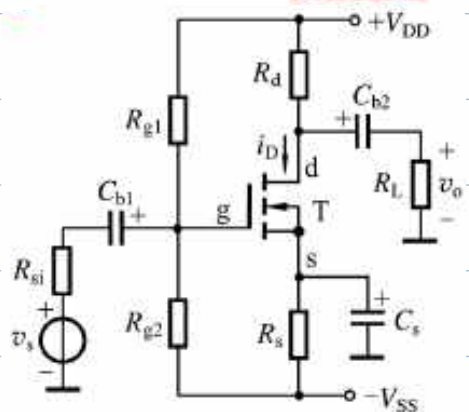
$$f_H = \frac{1}{2\pi R_{si} C}$$

哪些参数会影响上限频率？

$$R_{si}' = R_{si} \parallel R_{g1} \parallel R_{g2} \quad \uparrow \text{明显提高}$$

$$C = C_{gs} + C_{mi} = C_{gs} + \underline{C_{gd}} (1 + g_m R_i') \quad \downarrow \text{变小的}$$

$$g_m = 2\sqrt{k_n I_{DQ}}$$



增益带宽积

$$|A_{vsm} \cdot BW| \approx |A_{vsm} \cdot f_H| = g_m R_i' \cdot \frac{R_g}{R_{si} + R_g} \cdot \frac{1}{2\pi R_{si} C}$$

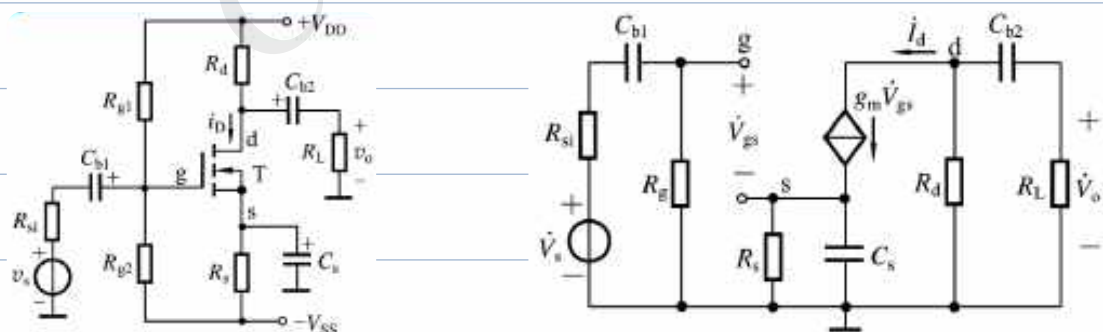
$$= g_m R_i' \cdot \frac{R_g}{R_{si} + R_g} \cdot \frac{1}{2\pi (R_{si} \parallel R_g) [C_{gs} + (1 + g_m R_i') C_{gd}]}$$

通常有 $R_g \gg R_{si}$, $g_m R_i' \gg 1$, $(1 + g_m R_i') C_{gd} \gg C_{gs}$

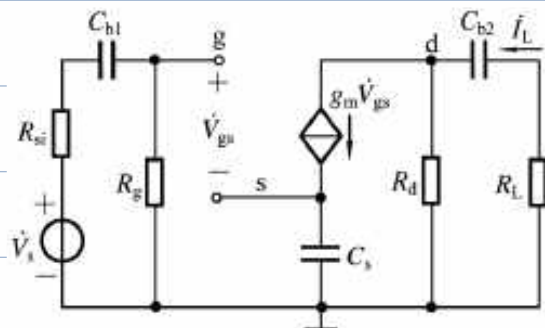
$$|A_{vsm} \cdot BW| \approx \frac{1}{2\pi R_{si} C_{gd}} \quad \text{近似为常数}$$

4 阻容耦合放大电路的低频响应及全频率响应

低频时 MOSFET 极间电容开路，保留耦合电容和旁路电容。



设 C_s 足够大, $\frac{1}{\omega C_s} \ll R_s$



$$\dot{V}_g = \frac{R_g}{R_{si} + R_g + \frac{1}{j\omega C_{bi}}} \cdot \dot{V}_s$$

$$\dot{V}_g = \dot{V}_{gs} + g_m \dot{V}_{gs} \frac{1}{j\omega C_s}$$

$$\Rightarrow \dot{V}_{gs} = \frac{1}{1 + \frac{g_m}{j\omega C_s} R_{si} + R_g + \frac{1}{j\omega C_{bi}}} \cdot \dot{V}_s$$

$$\dot{I}_L = g_m \dot{V}_{GS} \frac{R_d}{R_d + R_L + j\omega C_{b2}}$$

$$\dot{V}_o = -\dot{I}_L R_L = -g_m \dot{V}_{GS} \frac{R_d}{R_d + R_L + j\omega C_{b2}} \cdot R_L$$

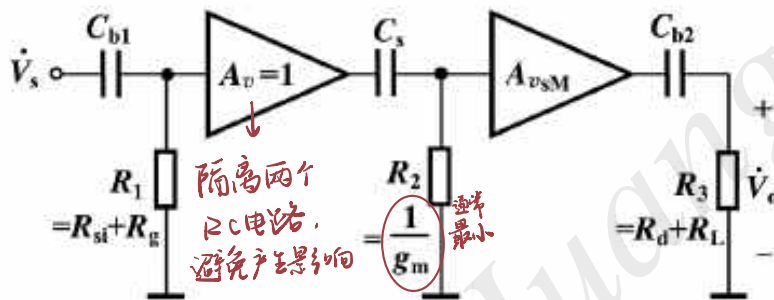
源电压增益

$$\begin{aligned} \dot{A}_{vSL} &= \frac{\dot{V}_o}{\dot{V}_s} = \frac{\dot{V}_o}{\dot{V}_{GS}} \cdot \frac{\dot{V}_{GS}}{\dot{V}_s} = -g_m \frac{R_d}{R_d + R_L + j\omega C_{b2}} \cdot \frac{1}{1 + \frac{g_m}{j\omega C_S}} \cdot \frac{R_g}{R_{Si} + R_g + j\omega C_{b1}} \\ &= A_{vSM} \cdot \frac{1}{1 - j(\frac{f_u}{f})} \cdot \frac{1}{1 - j(\frac{f_u}{f})} \cdot \frac{1}{1 - j(\frac{f_u}{f})} \end{aligned}$$

$$\text{其中 } A_{vSM} = -g_m R_L' \frac{R_g}{R_{Si} + R_g}$$

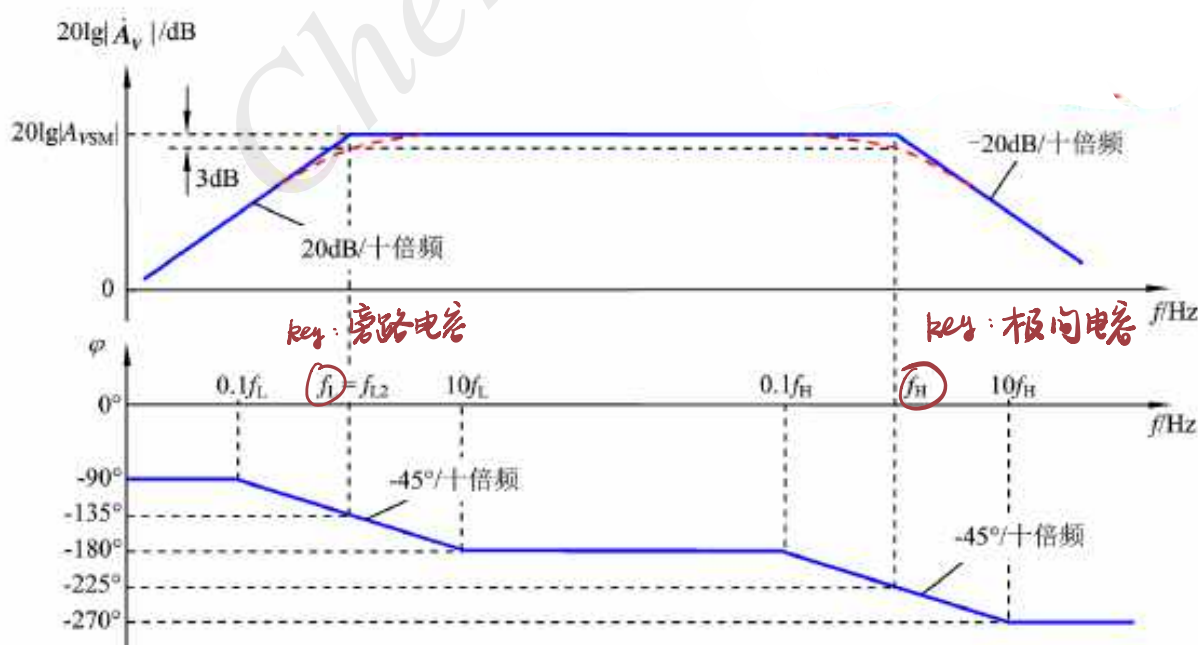
$$\text{下限频率 } f_u = \frac{1}{2\pi(R_{Si} + R_g)C_{b1}} \quad f_{L2} = \frac{1}{2\pi(\frac{1}{g_m})C_S} \quad f_3 = \frac{1}{2\pi(R_d + R_L)C_{b2}}$$

等效模型：



若 $f_{L2} > 4f_u$, $f_u > 4f_{L3}$, 则 $f_L \approx f_{L2}$

全频响应



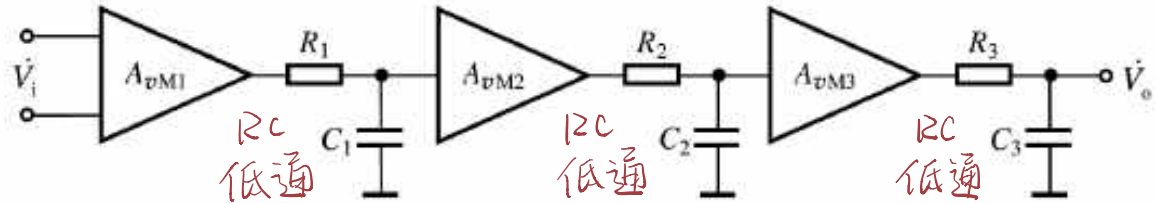
共源极放大电路的低频响应波特图（忽略了 f_{L1} 和 f_{L3} 的影响）

增大带宽 \rightarrow 增大 f_H \rightarrow 选板间电容小的三极管

5 多级放大电路的频率响应

(1) 直接耦合多级放大电路

每级都可以等效成一个与频率无关的放大电路和一个RC低通电路的串联



$$\dot{A}_{vh} = \dot{A}_{vh1} \dot{A}_{vh2} \dot{A}_{vh3}$$

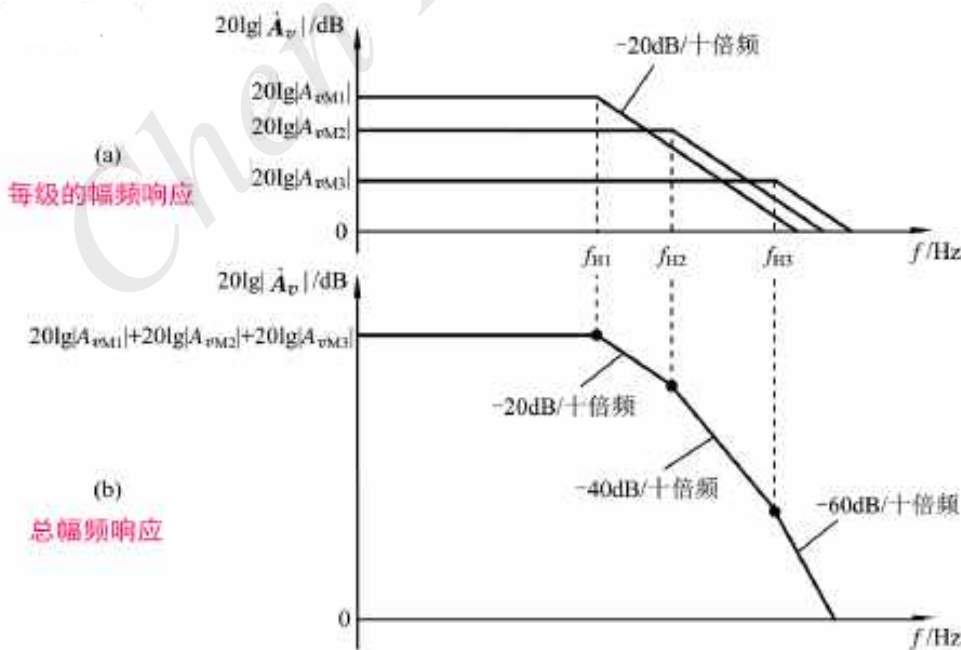
$$= \frac{A_{vh1}}{1 + j(\frac{f}{f_{H1}})} \cdot \frac{A_{vh2}}{1 + j(\frac{f}{f_{H2}})} \cdot \frac{A_{vh3}}{1 + j(\frac{f}{f_{H3}})}$$

$$\text{转折频率 } f_{H1} = \frac{1}{2\pi R_1 C_1} \quad f_{H2} = \frac{1}{2\pi R_2 C_2} \quad f_{H3} = \frac{1}{2\pi R_3 C_3}$$

幅频响应 $|\dot{A}_{vh}| = |\dot{A}_{vh1}| \cdot |\dot{A}_{vh2}| \cdot |\dot{A}_{vh3}|$

$$= \frac{|A_{vh1}|}{\sqrt{1 + (f/f_{H1})^2}} \cdot \frac{|A_{vh2}|}{\sqrt{1 + (f/f_{H2})^2}} \cdot \frac{|A_{vh3}|}{\sqrt{1 + (f/f_{H3})^2}}$$

$$20 \lg |\dot{A}_{vh}| = 20 \lg |\dot{A}_{vh1}| + 20 \lg |\dot{A}_{vh2}| + 20 \lg |\dot{A}_{vh3}|$$



相频响应 (设通带内无反相)

$$\varphi_H = -\arctan\left(\frac{f}{f_{H1}}\right) - \arctan\left(\frac{f}{f_{H2}}\right) - \arctan\left(\frac{f}{f_{H3}}\right)$$

(2) 阻容耦合多级放大电路的频率响应

设 $A_{VMI_2} = A_{VMI_1}$, $f_{L2} = f_{L1}$, $f_{H2} = f_{H1}$

则总增益 $(0.707 A_{VMI_1})^2 = 0.5 A_{VMI_1}^2 < 0.707 A_{VMI_1}^2$

$\Rightarrow f_L > f_{L1}$, $f_H < f_{H1}$

多级放大电路的通频带一定比构成它的任何一级都窄

跨接在输入输出端口之间的电容会产生密勒效应

